

# آفالیز پیش‌بینی روند خرابی و تعمیرپذیری یک موتور مینی توربوفن از منظر داده‌های آماری به منظور کاربرد در یک پهپاد

جاماسب پیرکنده<sup>۱</sup>، مهدی جهرمی<sup>۲</sup>، مجتبی محمدپور<sup>۳</sup>

۱ استادیار، مجتمع دانشگاهی هوافضا، دانشگاه صنعتی مالک‌اشتر، تهران، j\_pirkandi@dena.kntu.ac.ir

۲ استادیار، مجتمع دانشگاهی هوافضا، دانشگاه صنعتی مالک‌اشتر، تهران

۳ کارشناس ارشد، مجتمع دانشگاهی هوافضا، دانشگاه صنعتی مالک‌اشتر، تهران

تاریخ دریافت: ۱۳۹۴/۰۹/۲۳

تاریخ پذیرش: ۱۳۹۵/۰۶/۲۰

## چکیده

در این مقاله یک موتور مینی توربوفن مورد استفاده در یک پهپاد با مداومت پروازی بالا در مرحله طراحی انتخاب و تحلیل‌های مربوط به پیش‌بینی قابلیت اطمینان و تعمیر و نگهداری آن انجام شده است. مدلسازی موتور توربوفن با استفاده از دیاگرام‌های بلوکی انجام شده و قابلیت اطمینان، اهمیت قابلیت اطمینان و قابلیت دسترسی موتور و اجزای آن به دست آمده است. قابلیت اطمینان موتور در ۱۲۶ ساعت پروازی به زیر ۹۸ درصد می‌رسد. جهت ارتقای سطح قابلیت اطمینان موتور، از تخصیص قابلیت اطمینان ۹۸ درصد برای ۲۵۰ ساعت پرواز استفاده شده است. قابلیت دسترسی موتور توربوفن تحت بررسی با استفاده از شبیه‌سازی مونت کارلو تحلیل شده و مقدار آن برای سه سال برابر با ۷۵۳/۰ درصد بُرآورد شده و سیاست تعمیر و نگهداری پیش‌گیرانه پیشنهاد شده است.

## واژگان کلیدی

موتور مینی توربوفن، پهپاد، روند خرابی، تعمیرپذیری

## ۱. مقدمه

بهطور کامل و قطعی<sup>۱</sup> قابل شناسایی و درک نبوده و بر این اساس، پیش‌بینی خرابی و تحلیل قابلیت اطمینان، اساساً یک فرایند احتمالاتی است [۱]. هر سیستمی که در معرض تنش‌های مکرر و خارج از حد ظرفیت قرار بگیرد، امکان کاهش بازدهی و کارایی آن وجود دارد؛ در این حالت گفته می‌شود آن وسیله دچار خرابی شده است. موتور توربوفن نیز مشابه هر سیستم مکانیکی دیگر، در معرض تنش‌های متعدد قرار دارد. با توجه به این مستله،

امروزه با افزایش تقاضای مصرف‌کنندگان برای محصولاتی با قابلیت اطمینان بالا، عملکرد صحیح و قابل اطمینان محصولات تولید شده، بیش از پیش مهم و اساسی شده است. از دید قابلیت اطمینان، زمانی یک طراحی کامل و بینقص خواهد بود که سیستم مورد نظر در طول مأموریت تعیین شده، مؤثر و فعال باشد و بدون خرابی و خلل در عملکرد به هدف تعیین شده برسد. در یک طراحی، عواملی که به شکل بالقوه می‌توانند منجر به خرابی،

و درخت خطا انجام داده‌اند [۶]. وکمن و همکاران (۲۰۰۱) نیز در پژوهشی با استفاده از فرایندهای واپیل و پواسون ناهمگن به مدل‌سازی عمر یک موتور جت پرداختند [۷]. مقدس و فدایی (۲۰۱۲) برای ارزیابی قابلیت اطمینان با بهره‌گیری توأمان از روش مونت کارلو و شبکه‌های عصبی مصنوعی، به بررسی قابلیت اطمینان سازه‌ای پرداختند [۸]. در این مقاله اجزای تشکیل‌دهنده سیستم و همچنین نحوه ارتباط آنها با هم، از منظر قابلیت اطمینان شناسایی شده و در گام بعد، به محاسبه قابلیت اطمینان، اهمیت اجزای مختلف از منظر قابلیت اطمینان و نیز تشخیص قابلیت اطمینان پرداخته شده است. نتایج حاصل شامل ارائه پیشنهادهایی جهت تغییر در طراحی و افزایش قابلیت اطمینان سیستم مورد بررسی و سیاست‌های تعمیر و نگهداری می‌باشد. نوآوری این پژوهش، ارائه الگویی جهت محاسبات قابلیت اطمینان یک سیستم موتور توربوفن با اهداف خاص در مرحله طراحی و رساندن آن به سطح مورد انتظار قابلیت اطمینان و حفظ آن در شرایط مطلوب بدون در اختیار داشتن داده‌های اختصاصی خرابی می‌باشد.

## ۲. پهپادها

امروزه ارتش‌های جهان، جهت پیشبرد اهداف نظامی، شناسایی و فعالیت‌های نظیر آن از هوایی‌های بدون سرنشین استفاده می‌کنند. در طی پیشرفت‌های گسترده در این زمینه، روزبه‌روز بر کارایی آنها افزوده شده و پارامترهایی چون مداومت پروازی، ارتفاع پرواز، قدرت مانور و جز این‌ها بهبود می‌باشد. پهپادهای مانتیس<sup>۲</sup>، آر. کیو. ۱۱ ب<sup>۳</sup> فانتوم ری<sup>۴</sup> از نمونه‌های نوین این پهپادها هستند. برای نمونه، پهپاد آر. کیو. ۴ تا ارتفاع ۲۲ هزار متری اوج می‌گیرد و می‌تواند ۳۶ ساعت در آن ارتفاع بماند، همچنین می‌تواند در هر مأموریت ۴۰ هزار مایل هوایی گشتزنی کند. با داشتن یک مجموعه کامل از حسگرهای الکترونیکی نوری، فروسرخ و ترکیبی می‌تواند در هر زمان از روز و شب و در هر شرایط آب‌وهوایی به انجام مأموریت بپردازد. در مدل بزرگتر آن، فاصله نوک بال‌ها به ۴۰ متر می‌رسد [۹]. در شکل ۱ تصویر این هوایی‌ها نمایش داده شده است. سیستم پیش‌ران در پهپاد از جمله اصلی‌ترین بخش‌ها محسوب می‌شود و بسته به نوع کاربرد می‌توان از موتور جت استفاده کرد. برای این منظور، شناخت عملکرد موتور از منظر قابلیت اطمینان و طراحی موتور براساس آن، از اهداف این

شناخت دقیق حالت‌های بحرانی سیستم و پتانسیلهای شکست، برای بهبود طراحی و جلوگیری از آن امری ضروری بمنظور می‌رسد [۲].

در صنایع حساس و پرخطر، استفاده از اصول مهندسی قابلیت اطمینان بخش جدایی‌ناپذیر طراحی و نگهداری محسوب می‌شود. با توجه به اینکه این علم در نبود مستشاران خارجی و وجود تحريم‌ها، در ایران قدری دچار کم‌توجهی شده است، تلاش برای گسترش آن در تحقیقات علمی و کاربردی سازی ضروری است. در AI25-TL پژوهه حاضر، یک موتور توربوفن با مشخصات موتور مورد استفاده در یک پهپاد از دیدگاه قابلیت اطمینان مورد بحث و بررسی قرار گرفته است. روش طراحی برمبنای قابلیت اطمینان، روشی نوین در دنیا و با شناختی محدود در ایران است. در پژوهش حاضر، با استفاده از پایه و اساس کارهای گذشته، الگویی جهت محاسبات قابلیت اطمینان یک سیستم مانند موتور توربوفن در مرحله طراحی و رساندن آن به سطح مورد انتظار قابلیت اطمینان بدون در اختیار داشتن داده‌های اختصاصی خرابی ارائه شده است. آوانتور و همکاران (۲۰۰۱) یک روش تحلیل قابلیت اطمینان را به عنوان ابزاری در فاز طراحی مفهومی ارائه دادند [۳]. با توجه به اینکه حدود ۸۰ درصد هزینه‌های طراحی در ۲۰ درصد زمان اولیه؛ یعنی فاز طراحی مفهومی مشخص می‌گردد، تحلیل قابلیت اطمینان در این فاز از اهمیت زیادی برخوردار است. نتایج این پژوهش بیانگر افزایش قابلیت اطمینان سیستم در اثر اعمال تحلیل قابلیت اطمینان در فاز طراحی است. هالوران و همکاران (۲۰۱۲) روش پیش‌بینی قابلیت اطمینان جهت طراحی اولیه را مورد بررسی قرار داده‌اند [۴]. خروجی این روش مجموعه‌ای از طراحی‌های که می‌توانند شرط مقدار قابلیت اطمینان هدف را در آن طراحی ارضا کنند و حتی قابلیت اطمینان بیشتری از مقدار قابلیت اطمینان هدف داشته باشند. پس از جمع‌آوری داده‌ها و بررسی توزیع‌ها و حذف برخی از قطعات، گزینه‌های متنوع طراحی برای مشخص کردن اینکه کدام یک از آنها به قابلیت اطمینان هدف نزدیکتر است، بررسی می‌شود. پیتوري و همکاران (۲۰۱۲) به تخمین قابلیت اطمینان یک سیستم با استفاده از شبیه‌سازی مونت کارلو بعد از بررسی فیزیک خرابی حاکم بر آن پرداخته و توزیع مناسب حاکم بر رفتار خرابی را شناسایی نمودند [۵]. ساموئل و همکاران (۲۰۰۰) محاسبات قابلیت اطمینان یک سیستم موتور توربوفلت را با استفاده از تشخیص مودهای خرابی

موتور توربوفن به وجود آمد [۲]. در موتور توربوفن، یک فن بزرگ وجود دارد که به هوای ورودی شتاب می‌دهد. بخشی از این هوای وارد قسمت مرکزی موتور می‌شود و احتراق روی آن انجام می‌گیرد؛ بخش دیگر هوای ورودی از مجاری تعییشده را به خارج انتقال می‌دهد [۱۰].

پژوهش است. بعد از سال ۱۹۴۰ م، که موتورهای توربینی ساخته شدند، سازندگان هواپیماهای نظامی و تجاری بهدلیل مزایای این موتورها نسبت به موتورهای پیستونی، گرایش زیادی به استفاده از این موتورها پیدا کردند. برای نخستین بار در دهه ۱۹۵۰ م، مفهوم کنارگذر توسط شرکت رولز رویس<sup>۵</sup> مطرح شد و بدین ترتیب



شکل ۱. پهپاد نورثروپ گرومن آر. کیو. ۴ گلوبال هاوک<sup>۶</sup>



شکل ۲. نمایی از یک موتور توربوفن AI25-TL

توسط شرکت ایفچنکو<sup>۷</sup> اوکراین نمایش داده شده است. این موتور دارای تراست ۱۶/۹ کیلونیوتن است و در هواپیماهای کوچک و آموزشی تجاری و نظامی و پهپادها مورد استفاده قرار گرفته است. وزن موتور ۳۵۰ کیلوگرم و طول موتور ۲۸۶ سانتی‌متر است. نخستین گام برای بررسی و تحلیل هر سیستمی از منظر قابلیت اطمینان، شناخت اجزای آن سیستم، نحوه آرایش اجزا در کنار هم و مودهای خرابی آن است [۱۲]. تحلیل قابلیت اطمینان سیستم موتورهای هوایی اندکی دشوار ام بالهمتی است؛ زیرا شرایط کاری

### ۳. موتور توربوفن انتخابی

موتور توربوفن علاوه بر هسته مرکزی موتورهای توربینی، دارای یک قسمت دیگر، برای عبور هوا و بدون تزریق سوخت است [۱۰]. این موتور از زیرسیستم‌هایی تشکیل شده و اجزای تشکیل‌دهنده آن شامل فن، کمپرسور، محفظه احتراق، توربین، بدنه و متعلقات، سیستم روغنکاری، سوخترسانی و جعبه‌زنده کمکی است. هر کدام از این زیرسیستم‌ها، از اجزای دیگری تشکیل شده‌اند [۱۱]. در شکل ۲ موتور توربوفن AI25-TL تولیدشده

برای نمونه‌گیری از اعداد تصادفی استفاده می‌شود. با توجه به تراکم بالای مقادیر تابع چگالی احتمال ( $pdf$ ) در یک بازه کوتاه زمانی و عدم در نظر گیری این تراکم در نمونه‌گیری، روش مونت کارلو از تابع توزیع تجمعی ( $CDF$ ) بهجای تابع چگالی احتمال برای نمونه‌گیری استفاده می‌کند. یکی از روش‌های تولید عدد تصادفی روش نمایی منفی است. با استفاده از تابع نمایی منفی می‌توان عدد تصادفی را تولید کرد. در این حالت اگر  $u$  یک متغیر تصادفی در بازه صفر تا ۱ باشد، می‌توان نوشت:

$$X = F_x^{-1}(u) \quad (3)$$

$$\Pr(X < x) =$$

$$\Pr[F_x^{-1}(u) < x] = \Pr[u \leq F_x(x)] = F(x) \quad (4)$$

نخ خرابی بیانگر احتمال خرابی وسیله‌ای در حال کارکردن است. از منحنی وان حمام<sup>۹</sup> برای بیان مفهوم نخ خرابی استفاده می‌شود [۱۵]. تابع نخ خرابی بر حسب زمان از رابطه ۵ به دست می‌آید که در آن،  $h$  نشان‌دهنده نخ خرابی یا تابع مخاطره<sup>۱۰</sup>،  $\alpha$  متغیر اندازه و  $\beta$  متغیر شکل در توزیع واپیل است [۱].

$$h(t) = \frac{f(t)}{R(t)} = \frac{\beta t^{\beta-1} e^{-\left(\frac{t}{\alpha}\right)^{\beta}}}{1 - \int_0^t \beta t^{\beta-1} e^{-\left(\frac{t}{\alpha}\right)^{\beta}} dt} \quad (5)$$

منحنی وان حمام دارای سه ناحیه است؛ ناحیه اول مربوط به خرابی‌های است که بدليل مشکلات اولیه در تولید یا کیفیت ضعیف و سستی مواد اولیه ایجاد می‌شوند. در این ناحیه، مقدار پارامتر  $\beta$  کمتر از یک است [۱۵]. ناحیه دوم کارآمدترین دوره عمر هر قطعه یا سیستم محسوب می‌شود. در این ناحیه نخ خرابی ثابت و توزیع خرابی کاملاً بهصورت تصادفی و غیرقابل پیش‌بینی است و مقدار  $\beta$  برابرا یک است [۱۵]. قطعه بعد از طی عمر طبیعی خود به اصطلاح دچار فرسودگی می‌شود، نخ خرابی بهطور فزاینده با گذر زمان افزایش می‌یابد و  $\beta$  در این ناحیه بزرگتر از یک است [۱۵]. ناحیه سوم، در تحلیل خرابی‌های سیستم اهمیت فراوانی دارد. علت این اهمیت تعیین سیاست‌های تعمیر و نگهداری جهت جلوگیری از وقوع خرابی‌هاست [۱۶]. اهمیت قابلیت اطمینان، اندازه‌گیری و سنجش مقدار تأثیر هر قطعه روی قابلیت اطمینان کل سیستم است [۱۷]. اهمیت قابلیت اطمینان، هم به ویژگی‌های خرابی اجزاء و هم به موقعیت اجزاء در سیستم وابسته است. مقدار اهمیت قابلیت اطمینان  $IR_i$  برای مؤلفه  $i$  ام در یک سیستم با  $n$  مؤلفه، توسط رابطه ۶ محاسبه

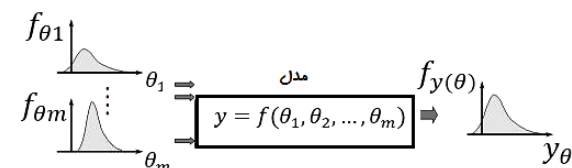
آن در آسمان به دور از دست مهندسان است. از علتهای دشواری در بررسی قابلیت اطمینان موتور توربوفن، نداشتن دقت بالا و قابل قبول در پیش‌بینی برخی از شرایط عملکردی سیستم بهدلیل وجود عدم قطعیت است. شرایط آبوهوابی، محیطی و نظیر آنها نمونه‌هایی از این شرایط می‌باشند. شاخص خرابی نیز از جمله مواردی است که تعریف آن بر عهده طراح یا استفاده‌کننده می‌باشد.

#### ۴. روابط حاکم

در آمار و احتمالات تابع چگالی احتمال به تابعی اطلاق می‌شود که توزیعی آماری را به‌شکل انتگرالی نمایش دهد. مقدار این تابع همواره مثبت است. در قابلیت اطمینان، انتگرال این تابع در یک بازه مشخص، نشان‌دهنده احتمال خرابی در آن بازه است [۱۲، ۱]. با توجه به آنکه در قابلیت اطمینان، احتمال کارکردن بدون خرابی مد ظر می‌باشد، مفهوم ریاضی قابلیت اطمینان را می‌توان مطابق رابطه ۱ بیان کرد. در رابطه ۱،  $f(x)$  بیانگر تابع چگالی احتمال،  $R$  نشان‌دهنده تابع قابلیت اطمینان و  $t$  معرف زمان است.

$$R(t) = \int_t^\infty f(x) dx \quad (1)$$

روش شبیه‌سازی مونت کارلو<sup>۱۱</sup> یک روش نمونه‌گیری مصنوعی است که می‌تواند برای حل مسائل پیچیده در روابط تحلیلی و شبیه‌سازی مسائل آماری مورد استفاده قرار گیرد [۱۳-۱۴]. در این شبیه‌سازی مقادیر از توزیع‌های مربوط به هر  $x$  در رابطه ۲ انتخاب (نمونه‌گیری) می‌شود. این نمونه‌گیری‌ها با استفاده از تکنیک‌های خاص انجام می‌شود. هر مجموعه از مقادیر داده‌ها، برای تخمین  $Y$  در رابطه ۲ استفاده می‌شود. این عمل برای تعداد دفعات بسیار زیاد (مثلًا ۱۰<sup>۵</sup> بار)، جهت بدست آوردن تعداد زیادی نمونه برای تخمین توزیع  $Y$  تکرار می‌شود. سپس نمونه‌های بدست آمده برای مقدار  $Y$ ، جهت بدست آوردن مشخصات و نمودار توزیع مربوطه استفاده می‌شود. در شکل ۳ چگونگی انجام شبیه‌سازی مونت کارلو نمایش داده شده است.



شکل ۳. نمایی از فرایند شبیه‌سازی مونت کارلو [۱۴]

$$Y = f(x_1, x_2, x_3, \dots, x_n) \quad (2)$$

در آن  $u$  زمان فعال بودن در طول زمان،  $d$  زمان از کار افتادگی در طول زمان و  $t$  کل زمان عملیات است [۱].

$$A = \frac{u}{u+d} \quad (11)$$

تعیین قابلیت دسترسی کل سیستم بعد از مشخص شدن قابلیت دسترسی هر یک از اجزاء از اهمیت فراوانی برخوردار است. برای بیان قابلیت دسترسی سیستم، فرض فعال بودن سیستم بسیار مهم است. مقدار قابلیت دسترسی برای سیستم‌های سری با  $n$  مؤلفه و  $n$  نیروی کار در دسترس به صورت معادله‌های ۱۲ بیان می‌شود. این معادله، از مفهوم سیستم‌های سری در قابلیت اطمینان به دست می‌آید.

$$A_s(t) = \prod_{i=1}^n A_i(t) \quad (12)$$

داده‌های خرابی انواع مختلفی دارند که از آن جمله می‌توان به داده‌های اختصاصی، داده‌های عمومی و تخمین‌های کارشناسانه، اشاره کرد. داده‌های اختصاصی یک سیستم با استفاده از اطلاعات حاصل از فرایند تعمیرات و نگهداری در طول عمر عملکرد سیستم، با توجه به اهداف خاص، جمع‌آوری می‌شود. داده‌های عمومی با استفاده از دستگاهها یا سیستم‌های مشابه قابل جمع‌آوری هستند. نمونه‌های مشهور داده‌های عمومی، بانک داده‌های خرابی [۲۰] OREDA [۲۱] MIL-HDBK-217 [۲۲] و RMS [۲۳] MIL-HDBK-756 [۲۴] می‌باشد. این داده‌ها به عنوان یک منبع مناسب به خصوص در مرحله طراحی اولیه تجهیزات که داده‌های تجربی و اختصاصی وجود نداشته باشد، قابل استفاده می‌باشند. توجه به این نکته ضروری است در صورت استفاده از داده‌های عمومی، باید نظر کارشناسانه نیز در استفاده از آنها لحظه‌گردد؛ زیرا شرایط عملکردی و محیطی برای سیستم‌های مختلف، تفاوت‌های اساسی دارند.

## ۵. روند حل مسئله

پس از گردآوری داده‌های لازم و در نظر گیری توزیع‌های مناسب برای قابلیت اطمینان اجزا، به مدلسازی سیستم و شبیه‌سازی آن با استفاده از روش شبیه‌سازی مونت کارلو پرداخته شده است. دلیل استفاده از این روش، جامع‌تر بودن آن در انجام محاسبات برای متغیرهای تصادفی، نسبت به روش‌های دیگر می‌باشد. چون توزیع وایل، توزیعی مناسب برای عمر قطعات مکانیکی می‌باشد، کلیه شبیه‌سازی‌ها و محاسبات برای توزیع وایل انجام گرفته است.

می‌شود که در آن  $R_s$  قابلیت اطمینان سیستم و  $R_i$  قابلیت اطمینان قطعه است [۱].

$$IR_i = \frac{\partial R_s}{\partial R_i} \quad (13)$$

قابلیت اطمینان یک محصول تابع اجزای آن محصول است. قابلیت اطمینان یک سیستم زمانی قابل قبول و بالا خواهد بود که اجزای آن قابلیت اطمینان بالایی داشته باشند. چگونگی تخصیص منطقی قابلیت اطمینان برای هر یک از قطعات سیستم برای دستیابی به قابلیت اطمینان هدف اهمیت زیادی دارد [۱۸]. تخصیص قابلیت اطمینان سیستم با حل نامعادله اساسی ۷ سروکار دارد؛ که  $\hat{R}_i$  پارامتر تخصیص قابلیت اطمینان برای زیرمجموعه  $\mathcal{N}_i$ ،  $R^*$  پارامتر قابلیت اطمینان مورد نیاز سیستم و  $f$  تابع ارتباطی بین قابلیت اطمینان سیستم و زیرمجموعه‌ها می‌باشد [۱۹].

$$(\hat{R}_1, \hat{R}_2, \dots, \hat{R}_n) \geq R^* \quad (14)$$

در روش تخصیص ARINC<sup>۱۱</sup> فرض بر این است تمامی زیرسیستم‌ها به صورت سری بوده و دارای نرخ خرابی ثابت می‌باشد و زمان عملکرد هر زیرسیستم با زمان عملکرد کل سیستم برابر است. در این روش تخصیص قابلیت اطمینان به هر یک از زیرسیستم‌ها براساس وزنی که به آنها داده شده است، انجام می‌گیرد. طی معادله ۸ نرخ خرابی تخصیص داده شده به سیستم میزان قابلیت اطمینان مورد نیاز در جزء جهت رساندن قابلیت اطمینان سیستم به قابلیت اطمینان هدف به دست می‌آید [۱۹].

$$\sum_{i=1}^n \lambda_i^* \leq \lambda^* \quad (15)$$

$$\lambda_i^* = w_i \lambda^* \quad (16)$$

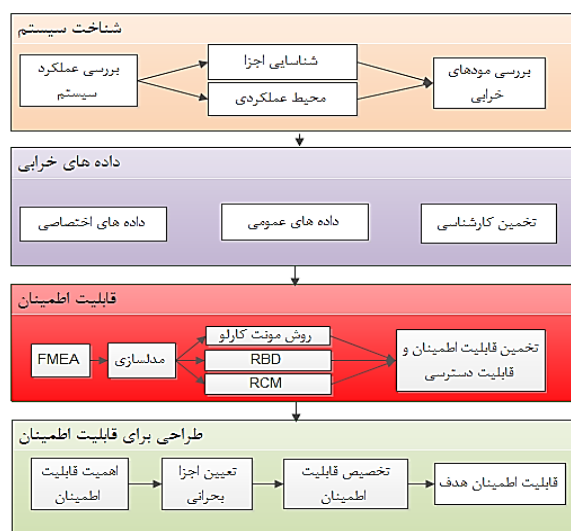
در رابطه ۸ تعداد زیرسیستم‌ها بوده،  $\lambda^*$  مقدار نرخ خرابی تخصیص داده شده به زیرسیستم  $i$  ام و  $w_i$  نرخ خرابی مورد نیاز سیستم است. در رابطه ۹  $w_i$  فاکتور وزن برای هر یک از زیرسیستم‌ها با استفاده از رابطه ۱۰ تعیین می‌شود [۱۹].

$$w_i = \frac{\lambda_i}{\sum_{i=1}^n \lambda_i} \quad (17)$$

قابلیت دسترسی به اندازه‌گیری درجه آماده به کار بودن یک سیستم از آغاز مأموریت تا زمانی که برای مأموریت فراخوانده شود، می‌پردازد. از دیدگاه ریاضی، قابلیت دسترسی عبارت از اندازه زمان آماده به کار بودن سیستم نسبت به کل زمان عملیات ( $t = u + d$ ) بوده و در حالت کلی از رابطه ۱۱ به دست می‌آید که

اطمینان سیستم‌هایی که به دلیل دسترسی نداشتن به داده‌های تجربی و اختصاصی، ارزیابی آنها با مشکل روپرورست، از دیگر نوآوری‌های این مقاله محسوب می‌شود. حتی در حالتی که اطلاعات مربوط به داده‌های خرابی برای برخی از قطعات خاص در بانک‌های داده در دسترس نباشد، می‌توان از نظرات کارشناسان بهره گرفت. همچنین در روش ارائه شده، علاوه بر قابلیت اطمینان و قابلیت دسترسی سیستم، اهمیت اجزای مختلف از منظر قابلیت اطمینان بررسی شده است. در انتهای با تحلیل نتایج، پیشنهادهای لازم برای بهبود و رشد قابلیت اطمینان سیستم و نیز، در مورد ویژگی قابلیت اطمینان قطعات مختلف به کار رفته در سیستم و نحوه انتخاب آنها، ارائه شده است.

دلیل انتخاب این توزیع، توانایی آن در مدلسازی قابلیت اطمینان قطعات در فازهای مختلف طول عمر می‌باشد. در مراحل بعدی، قابلیت اطمینان و قابلیت دسترسی کل سیستم محاسبه شده است. علاوه بر محاسبه این پارامترها، اهمیت اجزای مختلف از منظر قابلیت اطمینان و نیز تخصیص قابلیت اطمینان، برای ارائه پیشنهاداتی جهت بهینه‌سازی قابلیت اطمینان سیستم مورد بررسی قرار گرفته است. تمامی مراحل مذکور در شکل ۴ نشان داده شده است. در انتهای برای ارزیابی صحت نتایج حاصل از این روش، مقایسه‌ای بین نتایج حاصل از این پژوهش با نتایج پژوهش‌هایی که با استفاده از داده‌های میدانی انجام شده و از لحاظ شرایط کاری و یا اجزای تشکیل‌دهنده مشابه آن می‌باشند صورت گرفته است. همچنین ارائه یک روش برای رفع چالش ارزیابی قابلیت



شکل ۴. روند ارائه شده برای ارزیابی و طراحی قابلیت اطمینان سیستم

زیرسیستم اساسی شامل فن، کمپرسور، محفظه احتراق، توربین، نازل خروجی، بدنه و متعلقات، سیستم روغن، سیستم سوخت و جعبه‌دنده تقسیم شده است. سپس این زیرسیستم‌ها با توجه به نحوه عملکردشان در موتور توربوفن از منظر قابلیت اطمینان، به صورت سری، موازی و یا سایر ساختارها به هم متصل می‌شوند. ساختار در نظر گرفته شده برای موتور توربوفن به صورت سری می‌باشد؛ زیرا طبق مفهوم ساختار سری، اگر هر کدام از بلوكها از کار بیافتد، موتور قادر به ادامه کار نخواهد بود. بنابراین معادله قابلیت اطمینان سیستم موتور توربوفن مطابق رابطه ۱۳ به دست می‌آید.

در این مقاله روش مبتنی بر داده‌های خرابی برای انجام مدلسازی انتخاب شده است.

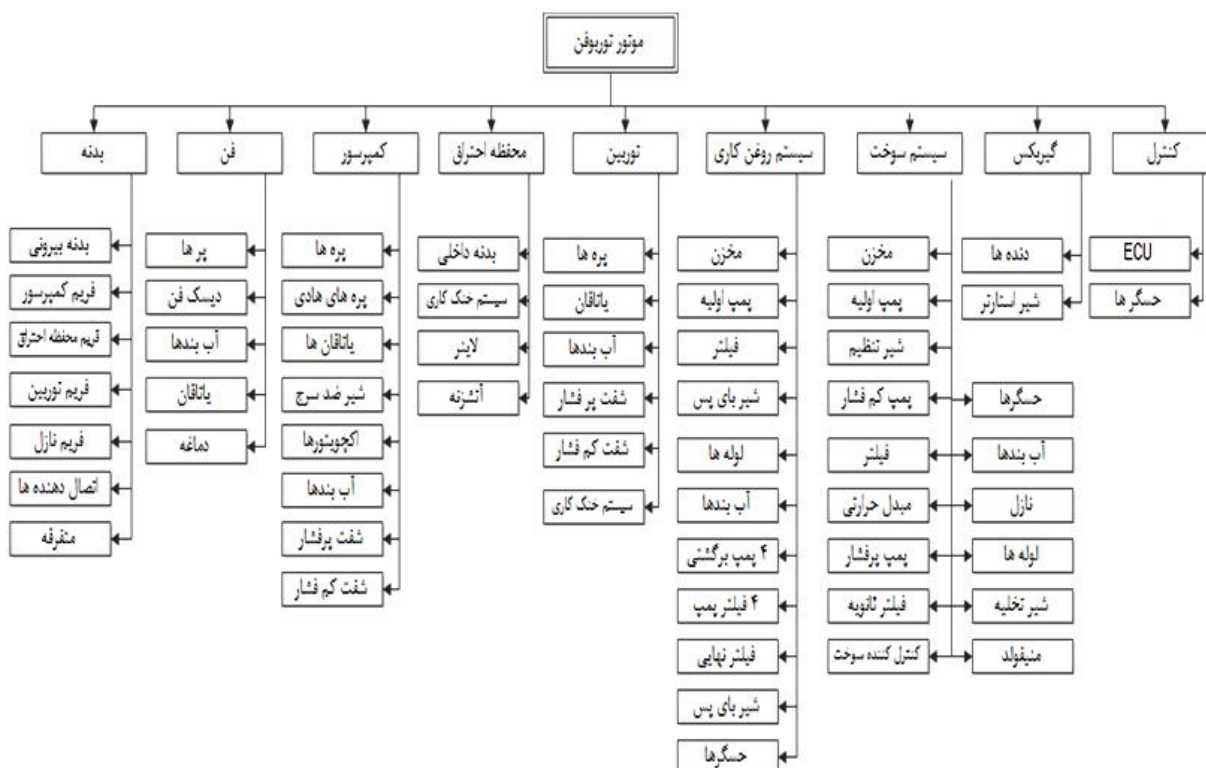
۶. مدلسازی موتور

موتور توربوفن در معرض تنشهای متعددی قرار دارد. هر سیستمی که در معرض تنشهای مکرر یا خارج از حد توان قرار بگیرد، امکان کاهش بازدهی، کارایی و حتی خرابی آن وجود دارد. لذا شناخت حالت‌های بحرانی سیستم و پتانسیل‌های خرابی، برای بهبود طراحی و جلوگیری از رخداد آن امری ضروری است. تمامی خرابی‌های بالقوه در موتور توربوفن از عواملی اولیه حادث می‌شوند که باید بر آنها اشراف کافی داشت. در جدول ۱ به شایع‌ترین علل خرابی در اجزای مختلف موتور توربوفن اشاره شده است. اجزای کلی یک موتور توربوفن نمونه در شکل ۵ نمایش داده شده است. جهت مدلسازی، قابلیت اطمینان، انتدا سیستم مورد نظر به ۶

ارزیابی قابلیت اطمینان سیستم موتور توربوفن در دست طراحی، اثر خرابی‌های ناگهانی مانند آسیب جسم خارجی در بررسی کمی قابلیت اطمینان وارد نمی‌گردد. فرض می‌شود که موتور از لحظه عملکرد ترمودینامیکی، بدون نقص و کامل بوده و فعالیت آن در بحرانی‌ترین شرایط ممکن انجام شده و داده‌های خرابی با در نظر گرفتن شرایط سخت کارکردی استخراج می‌شود. همچنین در این تحقیق فرض می‌شود که سیستم در حال طراحی اولیه یا طراحی معکوس بوده و داده‌های اختصاصی برای عمر قطعات در دسترس نیست. همچنین از خطای انسانی در نصب و تجهیز قطعات روی موتور صرف‌نظر شده و فرض می‌شود که زمان در این پروژه بهمعنی مجموع زمانی است که سیستم در حال کار کردن می‌باشد. در این مقاله اثر زمان‌هایی که سیستم بدون فعالیت است، لحظه نشده و فرض بر بدون نقص بودن وضعیت نگهداری می‌باشد.

$$R_{sys} = \prod_{i=1}^n R_i \quad (13)$$

به عنوان هدف در این مقاله، طراحی موتور مینی توربوفن دومحوره AI25-TL، برای مداومت پروازی ۲۵ ساعت در دستور کار قرار گرفته است. قابلیت اطمینان هدف برای سیستم، ۹۸ درصد در نظر گرفته شده است؛ به گونه‌ای که سیستم باید در تمام طول مدت پرواز و ارائه سرویس، دارای حداقل قابلیت اطمینان ۹۸ درصد باشد. از دیگر ملزمومات طراحی، عدم رؤیت وقوع خرابی قابل پیش‌بینی در موتور به مدت ۲۵۰ ساعت پروازی می‌باشد. موتور طراحی شده باید برای سه سال در حالت تأمین قطعات و تعمیرات بتواند پاسخگوی نیازهای مأموریتی محول شده باشد. جهت طراحی موتور توربوفن و استخراج داده‌های خرابی از منابع مختلف، داشتن درکی کافی از محیط کارکردی موتور ضروری می‌باشد؛ زیرا شرایط بحرانی کارکردی در میزان نرخ خرابی اجزا تأثیرگذار هستند. بدین ترتیب فرض می‌شود در این پروژه، جهت



شکل ۵. اجزای موتور توربوفن

محاسبات استفاده می‌شود. علت استفاده از روش مونت کارلو برای انجام محاسبات، غیرقطعی بودن داده‌های ورودی است. داده‌های خرابی (ورودی‌های مسئله) توزیع‌های آماری می‌باشند. بنابراین با استفاده از تکرار محاسبات براساس انتخاب تصادفی داده‌ها از

## ۷. الگوریتم حل

روند انجام محاسبات در شکل ۶ نمایش داده شده است. روند مذکور تکامل یافته و جزئی شده شکل ۴ است. همان‌گونه که در بخش ۶ اشاره شد، از روابط حاکم بر قابلیت اطمینان جهت انجام

آزمایش ملاحظه شد طی ۱۰۰۰ تکرار، همگرایی صورت می‌گیرد. موتور توربوفن جهت انجام تحلیل‌های قابلیت اطمینان مدلسازی شده است. شکل‌های ۷ تا ۱۴ نشانگر این تقسیم‌بندی اجزاء و آرایش آنها در کنار هم براساس قرارگیری در یک موتور توربوفن واقعی است.

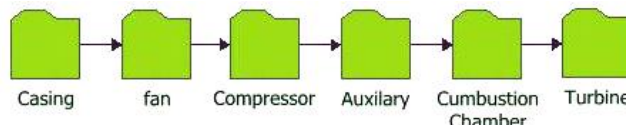
بازه‌های ورودی، محاسبات انجام می‌شود. در صورت بیشتر بودن تعداد تکرار (نمونه‌گیری از بازه‌های ورودی)، جواب به دست آمده از دقت بالاتری برخوردار خواهد بود. برای انجام محاسبات این تحقیق از تعداد ۱۰۰۰ تکرار استفاده شده است. با توجه به استفاده از شبیه‌سازی مونت کارلو در این پژوهش، استفاده از تکرار محاسبات برای رسیدن به همگرایی ضروری است. با چندین بار

جدول ۱. شایع‌ترین علل خرابی در اجزای مختلف موتور توربوفن

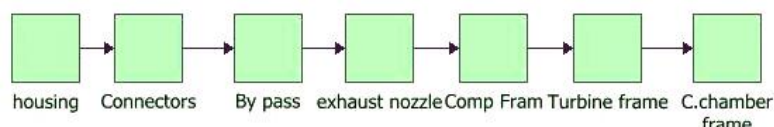
جزء	علل خرابی
پره دیسک	خستگی کم‌چرخه و پرچرخه، آسیب جسم خارجی، تشدید ارتعاش، خوردگی، سایش
	خستگی کم‌چرخه و پرچرخه، شکستگی
کمپرسور دیسک	خستگی فرکانس بالا، تشدید ارتعاش، آسیب‌های اجسام داخلی و خارجی، خوردگی، سایش
	خستگی کم‌چرخه و پرچرخه، شکستگی
محفظه احتراق لاینر	خستگی دمایی، حرارتدهی بیش از حد
پره دیسک	خستگی دمایی، خستگی فرکانس بالا، خرش، تشدید ارتعاش، خستگی کم‌چرخه در اثر گردابیان‌های دمایی، ساییدگی نوک پره، خوردگی، آسیب‌های اجسام داخلی
	شکستگی، خوردگی، خستگی کم‌چرخه و پرچرخه، خستگی دمایی
توربین پرههای هادی	خوردگی داغ، خستگی دمایی، خرش، حرارتدهی بیش از حد، از بین رفت پوشش، اعوجاج
شفت پرفشار شفت کم‌پاشار بدنه موتور یاتاقان‌ها	خستگی کم‌چرخه، خرش در انتهای داغ، چرخش خیلی سریع
	خستگی کم‌چرخه، خرش در انتهای داغ، چرخش خیلی سریع
	خوردگی، آسیب جسم خارجی
	خرش، خستگی کم‌چرخه



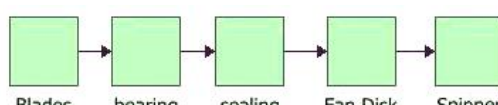
شکل ۶. الگوریتم حل مسئله



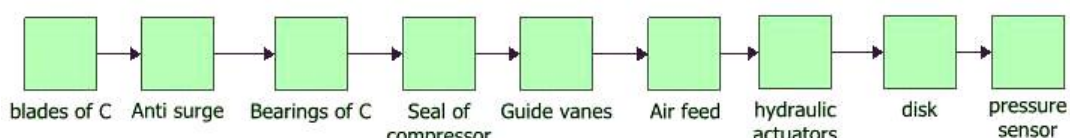
شکل ۷. زیرسیستم‌های استفاده شده در موتور توربوفن



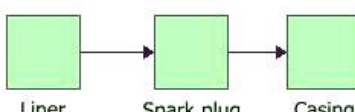
شکل ۸. اجزای در نظر گرفته شده برای زیرسیستم بدنه



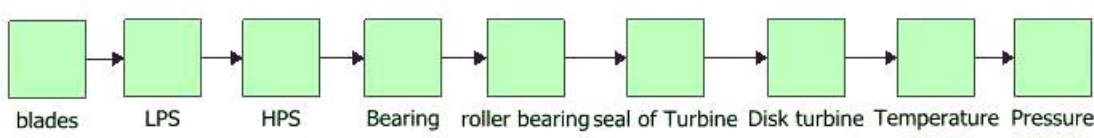
شکل ۹. اجزای در نظر گرفته شده برای زیرسیستم فن



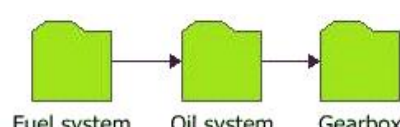
شکل ۱۰. اجزای در نظر گرفته شده برای زیرسیستم کمپرسور



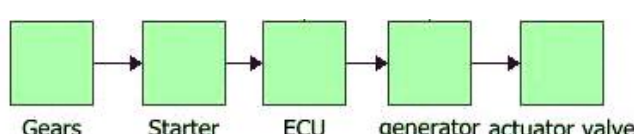
شکل ۱۱. اجزای در نظر گرفته شده برای زیرسیستم محفظه احتراق



شکل ۱۲. اجزای در نظر گرفته شده برای زیرسیستم توربین



شکل ۱۳. اجزای در نظر گرفته شده برای زیرسیستم کمکی



شکل ۱۴. اجزای در نظر گرفته شده برای زیرسیستم جعبه دنده

## ۸. اعتبارسنجی

روغن و سوخت، فیلترها، دیسکهای موجود در فن، کمپرسور و توربین، از حساس‌ترین بخش‌های این موتورها از لحاظ اهمیت قابلیت اطمینان محسوب می‌شوند.

جدول ۲. متوسط زمان بین دو خرابی برای اجزای موتور در هوایپیماهای ای. ۳۲۰ و فوکر ۱۰۰ بر حسب ساعت پروازی

جزء	MTBF	MTBF به دست آمده
پمپ سوخت	۴۰۰۰	۱۲۰۰
فیلتر سوخت	۳۰۰۰	۶۵۰
فیلتر روغن	۳۰۰۰	۶۵۰
پمپ روغن	۴۰۰۰	۱۲۰۰
دیسک فن	۸۰۰۰	۱۵۰۰
دیسک توربین	۷۰۰۰	۱۳۰۰
دیسک کمپرسور	۷۰۰۰	۱۳۰۰
پره فن	۹۰۰۰	۱۷۰۰
پره توربین	۵۰۰۰	۹۰۰
پره کمپرسور	۵۰۰۰	۱۰۰۰

## ۹. نتایج

در این مرحله ویژگی‌های قابلیت اطمینان هر زیرسیستم اعمال می‌گردد. داده‌های ورودی مسئله، شامل اطلاعات خرابی اجزای موتور توربوفن در قالب بازهای آماری می‌باشد. بدین ترتیب، حل مسئله با عدم قطعیت ناشی از داده‌های ورودی همراه خواهد بود. مطابق آنچه تشریح شد، در این مرحله با استفاده از الگوریتم محاسبات، نتایج مربوط به قابلیت اطمینان به دست آمده است. با توجه به مفهوم سیستم‌های سری در قابلیت اطمینان، با استفاده از رابطه ۲ و کاربرد روش مونت کارلو در محاسبات مربوط به رابطه ۱۱ نتایج قابلیت اطمینان برای سیستم حاصل می‌شوند. شکل ۱۷ نشان‌دهنده نحوه تغییرات قابلیت اطمینان سیستم و زیرسیستم‌های آن در زمان‌های داده شده می‌باشد. با توجه به محاسبات انجام‌شده و نمودار ترسیم شده، زیرسیستم کمکی که خود شامل زیرسیستم‌های سوخت، روغن و جعبه‌دنده کمکی می‌شود، قابلیت اطمینان پایین‌تری را نسبت به سایر بخش‌های موتور دارد. شکل ۱۸ نشان می‌دهد که کمترین قابلیت اطمینان بین زیرسیستم‌های موتور توربوفن، به زیرسیستم روغن اختصاص دارد. برای به دست آوردن توابع چگالی احتمال حاکم بر خرابی زیرسیستم‌ها و کل

برای مقایسه نتایج حاصل از محاسبات اهمیت قابلیت اطمینان، از داده‌های اختصاصی مربوط به دو هوایپیما اریاس ای. ۳۲۰ و فوکر ۱۰۰ استفاده شده است [۲۴]. در این بخش، هدف مقایسه اهمیت قابلیت اطمینان اجزای موتور مدل‌سازی شده با داده‌های اختصاصی است. مقدار MTBF<sup>۱۴</sup> یک جزء هرچه بیشتر باشد، آن جزء دیرتر دچار خرابی می‌شود و قابلیت اطمینان بالایی داشته و اهمیت قابلیت اطمینان آن در سیستم کمتر خواهد بود. با مقایسه کیفی داده‌های جدول ۲ و نتایج حاصل، این نتیجه به دست می‌آید که بخش سوخت و روغن و بخش‌هایی از توربین و کمپرسور، اهمیت قابلیت اطمینان بالاتری نسبت به سایر اجزاء دارند. این موضوع با ادعای این تحقیق در بخش بررسی اهمیت قابلیت اطمینان مطابقت دارد و در نمودار شکل ۱۵ نیز به نمایش درآمده است که به‌وضوح شباهت رفتار در خرابی را نشان می‌دهد. تفاوت موجود نیز به‌دلیل عدم در دسترس بودن داده‌های حاصل از تست یا پرواز، تفاوت استفاده از موتورهای مقایسه شده از دید نظامی یا غیرنظامی، محیط و شرایط عملکردی متفاوت و سخت‌تر برای موتور در دست طراحی می‌باشد. در صورت استخراج داده‌های خرابی برای موتور تحت بررسی در شرایط عملکردی و محیطی یکسان با دو موتور ای. ۳۲۰ و اف. ۱۰۰ مشاهده می‌شود که رفتار متوسط زمان بین خرابی نه تنها با رفتار به دست آمده از داده‌های تجربی مشابه است، که خطای قابل قبولی بین نتایج وجود دارد که در بیشترین حالت به حدود ۱۲/۵ درصد در پمپ روغن می‌رسد. خطای موجود، به‌دلیل برخی ساده‌سازی‌های انجام‌شده، موجود نبودن تست‌های آزمایشگاهی یا میدانی در خصوص داده‌های خرابی و در نتیجه عدم قطعیت داده‌ها و مدل می‌باشد. مقدار MTTF یک جزء هرچه بیشتر باشد، آن جزء دیرتر دچار خرابی می‌شود و قابلیت اطمینان بالایی داشته و اهمیت قابلیت اطمینان آن در سیستم، کمتر خواهد بود. بحرانی‌ترین اجزای موجود در شکل ۱۶ نمایش داده شده است. نتایج نشان می‌دهد که تحلیل صورت گرفته برای یافتن اجزای بحرانی با قابلیت اطمینان کمتر صحیح بوده و با داده‌ها تجربی دو نمونه موتور هوایپیما تجاری در مطابقت نسبی قرار دارد. با توجه به داده با مقایسه کیفی داده‌ها و نتایج حاصل، این نتیجه به دست می‌آید که بخش سوخت و روغن و بخش‌هایی از توربین و کمپرسور، اهمیت قابلیت اطمینان بالاتری نسبت به سایر اجزاء دارند. پمپهای

سیستم موتور توربوفن تحت بررسی، در حال فرسودگی با زمان است و این فرسودگی رفتارفته بیشتر می‌شود. میزان نرخ خرابی سیستم در ۱۰۰ ساعت برابر  $319/0000$  بر ساعت و در ۴۰۰ ساعت برابر  $1337/0000$  بر ساعت است. بنابراین، زیرسیستم کمکی، جزء بحرانی مجموعه موتور می‌باشد که طبق شکل ۷، قابلیت اطمینان آن در ۱۷۵ ساعت پروازی، به زیر ۹۸ درصد نزول می‌کند. این موضوع با مشاهده شکل ۱۸ نیز قابل توجیه است؛ بهمطوری که در بین نمودارهای نرخ خرابی، نمودار زیرسیستم کمکی مقادیر زیادتری نسبت به سایر زیرسیستمهای دارد. بنابراین، چهت بهبود سیستم و افزایش قابلیت اطمینان کل سیستم، بایستی زیرسیستم کمکی در اولویت قرار گیرد. با انجام تحلیل فوق، این نکته دریافت شده است که زیرسیستم کمکی از اهمیت بالاتری نسبت به سایرین برخوردار است. این موضوع از روی نمودار شکل ۱۷ نیز قابل توجیه است، بهمطوری که کمترین قابلیت اطمینان را در بین نمودارهای موجود، زیرسیستم کمکی دارد.

شکل ۲۰، مربوط به نمودارهای قابلیت اطمینان سیستم‌های پمپ و فیلتر موجود در سیستم رونگکاری است.

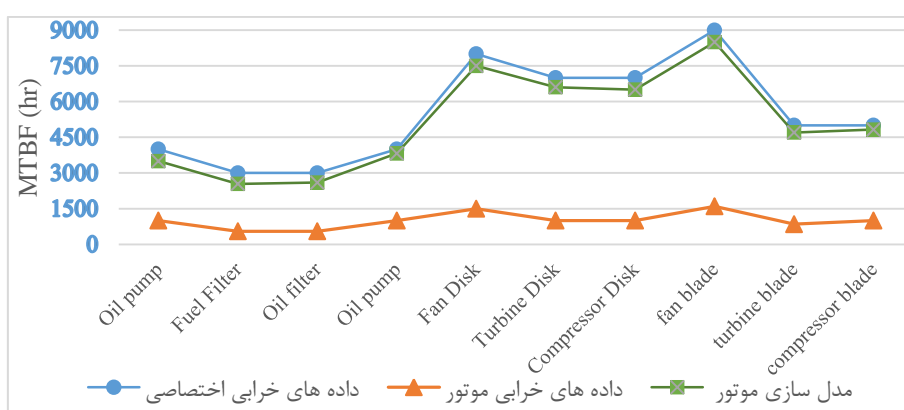
سیستم، از روش ترسیم احتمالاتی استفاده شده است. پارامترهای حاصل از این روش در جدول ۳ جمع‌آوری شده است. توزیع وایبل مطابق رابطه ۱۴ بیان می‌گردد.

$$f(t) = \frac{\beta t^{\beta-1} e^{-(\frac{t}{\alpha})^\beta}}{\alpha^\beta} \quad (14)$$

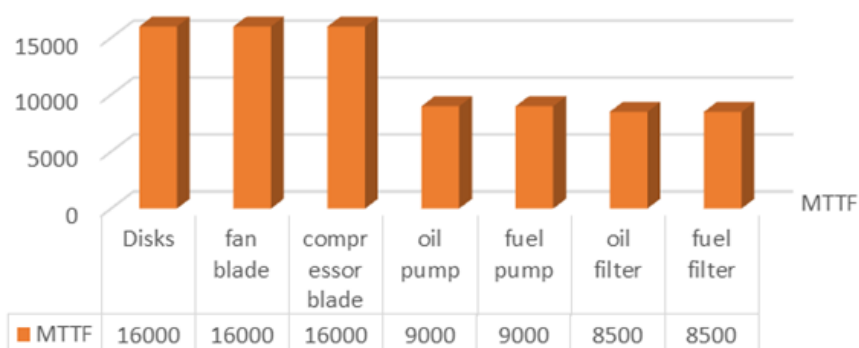
با انجام روند ذکر شده، پارامترهای وایبل برای توزیع خرابی سیستم به صورت  $\beta=2/04$  و  $\alpha=767/92$  استخراج می‌شود و معادله خرابی برای موتور به صورت رابطه ۱۵ در می‌آید.

$$f_{\text{system}}(t) = \frac{2.04t^{1.04} e^{-(\frac{t}{767.92})^{2.04}}}{767.92^{2.04}} \quad (15)$$

نمودارهای مربوط به نرخ خرابی اجزای سیستم به دست آمده و در شکل ۱۹ نمایش داده شده است. در شکل ۱۹ نرخ خرابی زیرسیستمهای فن، محفظه احتراق، بهتریت پایین‌تر از نمودار نرخ خرابی توربین قرار می‌گیرند که بدليل اینکه خیلی نزدیک به محور افقی هستند، رسم نشده‌اند. نکته مهم در شکل ۱۹، تقریر مثبت نمودارهای نرخ خرابی می‌باشد. مثبت بودن این تقریر، نشان‌دهنده افزایش نرخ خرابی با گذرا زمان است. به عبارت دیگر،

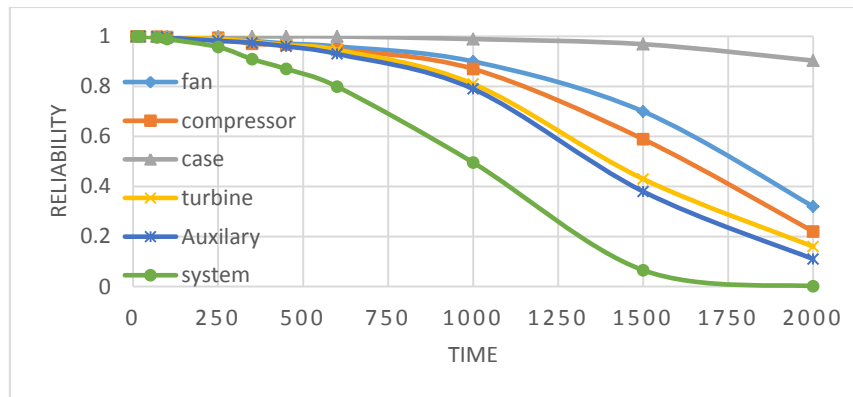


شکل ۱۵. اعتبارسنجی مدل مورد استفاده

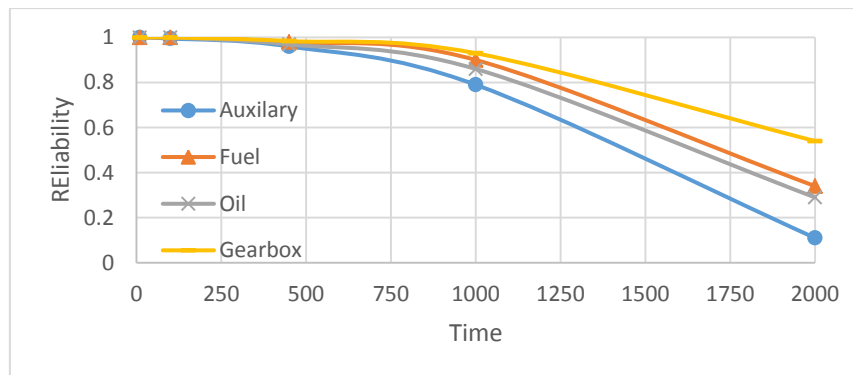


شکل ۱۶. متوسط زمان بین خرابی‌های اجزای موتورهای توربوفن تجاری برای برخی از اجزای بحرانی [۲۴]

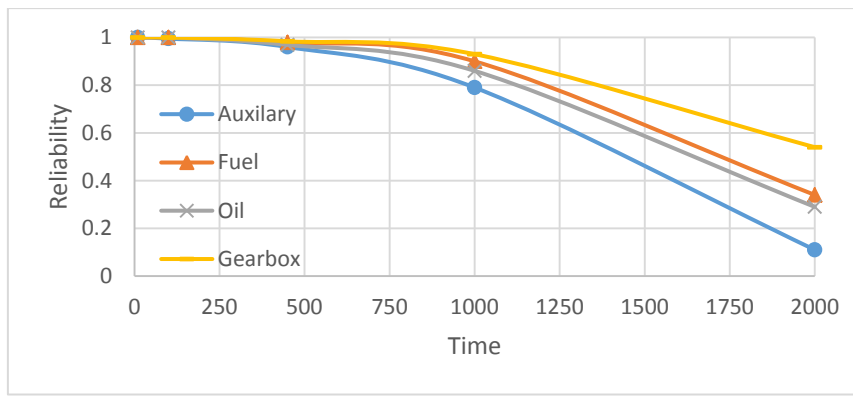
آنالیز پیش‌بینی روند خرابی و تعمیرپذیری یک موتور مهندسی توربوفن از منظر داده‌ای آماری بهمنظر کاربرد یک پیهاد



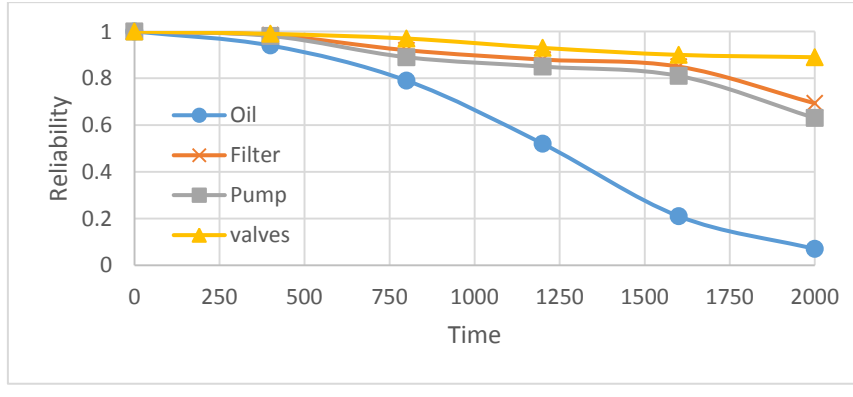
شکل ۱۷. تغییرات قابلیت اطمینان اجزای موتور توربوفن بر حسب زمان



شکل ۱۸. تغییرات قابلیت اطمینان اجزای زیرسیستم کمکی بر حسب زمان



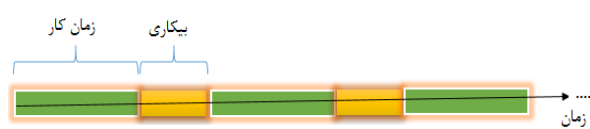
شکل ۱۹. نمودار تغییرات نرخ خرابی بر حسب زمان برای زیرسیستم‌ها



شکل ۲۰. تغییرات قابلیت اطمینان اجزای زیر سیستم روغن با زمان

زمان‌بندی تقویمی استفاده شده است. با در نظر گرفتن میزان قابلیت اطمینان در زمان‌های مختلف برای اجزاء و اهمیت قابلیت اطمینان آنها در سیستم، تغییراتی در سیاست تعمیر و نگهداری ایجاد کرده و زمان‌های بین بازه‌های تعمیرات، برابر  $500$  و  $1000$  ساعت تقویمی فرض می‌شود. نتیجه انجام شبیه‌سازی مونت کارلو با  $1000$  تکرار برای  $3$  سال عملکرد موتور توربوفن در جدول  $3$  نشان داده شده است. شکل  $22$  نیز نشان‌دهنده تغییرات قابلیت دسترسی موتور در بازه زمانی  $2000$  ساعت اولیه و شکل  $23$  مربوط به قابلیت دسترسی در  $1920$  ساعت انتهایی می‌باشد. محاسبات صورت گرفته نشان‌دهنده این است که از  $21600$  ساعت عملکرد مورد انتظار، تنها  $19802$  ساعت محقق شده و تفاوت این دو زمان صرف عملیات تعمیر و نگهداری پیشگیرانه خواهد شد. در شکل  $24$  قابلیت دسترسی متوسط برای سیستم نمایش داده شده است. طبق محاسبات صورت گرفته در  $3$  سال، سیستم دارای قابلیت دسترسی متوسط  $75$  درصد است. به این معنا که میزان  $75$  درصد از کل  $3$  سال را می‌تواند به کار گرفته شود و باقی زمان را باید تحت تعمیرات قرار گیرد. بیان این نکته نیز ضروری است که  $25$  درصد باقی‌مانده، جزء زمان‌هایی است که سیستم بلااستفاده است. این زمان برای یک ماه برابر  $270$  ساعت است که برای سه سال برابر  $9720$  ساعت می‌شود که معادل  $37$  درصد کل سه سال است.

در این پروژه، سیاست تعمیر و نگهداری براساس تعمیر و نگهداری پیشگیرانه <sup>$15$</sup>  طرح‌ریزی شده است. چون مدت کار سیستم  $3$  سال در نظر گرفته شده است، با فرض اینکه هر پرواز  $30$  ساعت بهطول بینجامد و بهطور متوسط در هر ماه  $15$  پرواز در نظر گرفته شود، مدت زمان کل پرواز در سه سال برابر  $21600$  ساعت خواهد بود. بدینهای است که در این مدت اگر فرایند تعمیرات و نگهداری مناسبی روی موتور صورت نگیرد، سیستم بارها دچار خرابی می‌شود؛ زیرا در این زمان، قابلیت اطمینان صفر است. از طرفی عملکرد موتور در بازه‌های زمانی مختلف در شکل  $21$  به صورت شماتیک نمایش داده شده است. خانه‌هایی که به رنگ زرد مشخص شده است، نشان‌دهنده زمان‌هایی است که موتور بدون فعالیت <sup>$16$</sup>  می‌باشد و خانه‌های سبز رنگ زمان‌هایی است که موتور در حال کار <sup>$17$</sup>  است. بدین ترتیب برنامه تعمیرات و نگهداری پیشگیرانه بهتر است در زمان‌های بیکاری صورت گیرد. همان‌طور که در بخش قبل اشاره شد، میزان آماده به کار بودن سیستم موتور توربوفن از اهمیت زیادی برخوردار است. در زمان‌های طولانی، قابلیت اطمینان سیستم در صورت عدم تعمیر به صفر می‌رسد، اما نوع سیاست تعمیر و نگهداری است که سیستم را می‌تواند با قابلیت اطمینان مناسبی آماده به کار نگه دارد. هدف در این بخش، انجام محاسبات مربوط به قابلیت دسترسی در زمان محاسبه شده  $3$  سال می‌باشد. برای انجام این محاسبات، از



شکل  $21$ . نمایی شماتیک از فعالیت موتور در طی زمان

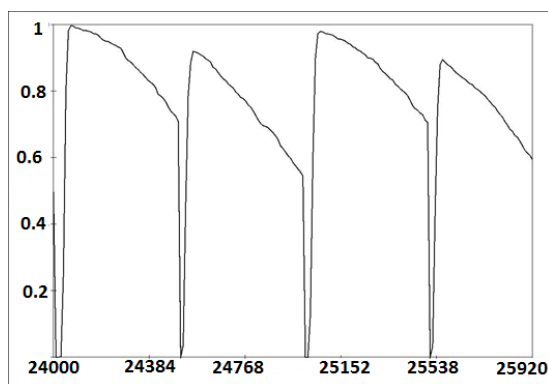
جدول  $3$ . نتایج کلی محاسبات قابلیت دسترسی برای موتور توربوفن در مدت  $3$  سال

ویژگی‌های عمومی
$0/753$ متوسط قابلیت دسترسی
$0/0016$ انحراف معیار (متوسط قابلیت دسترسی)
$0/908$ قابلیت دسترسی در $25920$ ساعت
مدت زمان عملیات و از کار افتادگی سیستم
$19802$ مدت زمان عملیات (ساعت)
$1829$ کل زمان از کار افتادگی (ساعت)

نتیجه انجام شبیه‌سازی مونت کارلو می‌باشد. با توجه داده‌های این جدول نتیجه گرفته می‌شود که در برخی از زمان‌ها، میزان از کار

میزان آماده به کار بودن و از کار افتادگی موتور برای انجام فرایند تعمیرات و نگهداری در جدول  $4$  آمده است. این داده‌ها

قابلیت اطمینان از روش تخصیص قابلیت اطمینان به ۹۸ درصد در ۲۵۰ ساعت پروازی استفاده شده است. این بخش مقدمه‌ای برای کار بهینه‌سازی در طراحی و بهبود کیفیت موتور تولیدشده است. در ادامه تشخیص قطعات بحرانی در سیستم از نظر خرابی و قابلیت اطمینان صورت گرفته است که طبق آن، فیلترها و پمپ‌های روغن و سوخت و دیسک‌های نواحی چرخان از بحرانی‌ترین اجزای موتور توربوفن مورد نظر می‌باشند. به عنوان بخش دیگری از نتایج نمودارهای نرخ خرابی استخراج شده‌اند و منحنی‌های حاصل‌شده حاکی از آن است که سیستم تحت فرسودگی بوده و باید سیاست تعمیر و نگهداری مبتنی بر قابلیت اطمینان در طراحی لحاظ شود. همچنین قابلیت دسترسی متوسط سیستم موتور توربوفن در طی مدت سه سال استفاده، برابر با ۰/۷۵۳ درصد برآورد شده و سیاست‌های تعمیرات و نگهداری برای پیشگیری از خرابی‌های بالقوه پیشنهاد شده است.

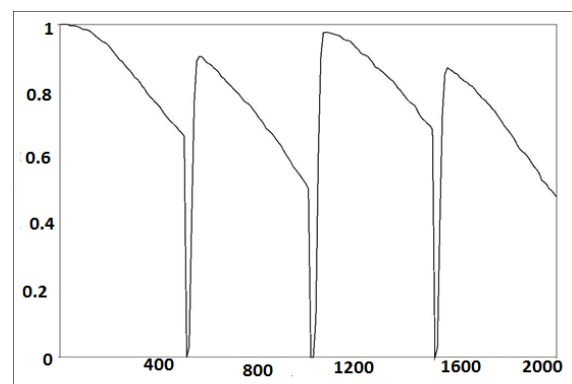


شکل ۲۳. قابلیت دسترسی در ۱۹۲۰ ساعت انتهایی

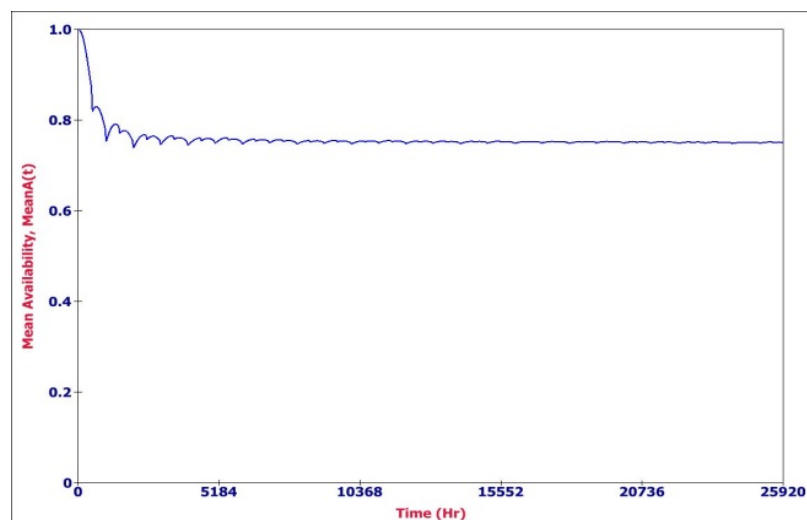
افتادگی سیستم، نسبت به سایر زمان‌ها بیشتر است. این موضوع که به خاطر وجود دوره‌های تعمیرات کلی یا اورهال می‌باشد که البته، هر چقدر این دوره به حداقل زمان ممکن کاهش یابد، سیستم به بهینه‌ترین حالت خود می‌رسد. نتیجه محاسبات برای قابلیت دسترسی در جدول ۵ آمده است. این جدول نگاهی کلی به قابلیت دسترسی دارد.

## ۹. جمع‌بندی

در این مقاله، برای موتور مبنی توربوفن خاص محاسبات قابلیت اطمینان موتور توربوفن در مرحله طراحی انجام شد. طبق الگوریتم پیشنهادشده و لحاظ‌نمودن داده‌های خرابی، نتایج مربوط به قابلیت اطمینان بدست آمده است. بر این اساس، قابلیت اطمینان موتور به زیر ۹۸ درصد در ۱۲۰ ساعت می‌رسد. این مقدار براساس اهداف طراحی کافی نیست و برای بهبود آن و افزایش سطح



شکل ۲۲. قابلیت دسترسی در ۲۰۰۰ ساعت ابتدایی



شکل ۲۴. قابلیت دسترسی متوسط برای سیستم موتور توربوفن در سه سال

جدول ۴. زمان‌های بدست آمده برای آمده به کار بودن سیستم

بازه زمانی آمده به کار بودن	لحظه از کار افتادن	لحظه آمده به کار شدن
۴۶۳	۲۵۰۰	۲۰۳۷
۴۶۲	۲۴۵۰	۲۴۰۳۸
۲۶۵	۲۴۷۹۵	۲۴۵۳۰
۴۵۶	۲۵۵۰	۲۵۰۴۴
۳۹۸	۲۵۹۲۰	۲۵۵۲۲

جدول ۵. نتایج کلی محاسبات قابلیت دسترسی برای موتور توربوفن در مدت ۳ سال

ویژگی‌های عمومی	
۰/۷۵۳	متوسط قابلیت دسترسی
۰/۰۰۱۶	انحراف معیار (متوسط قابلیت دسترسی)
۰/۹۰۸	قابلیت دسترسی در ۲۵۹۲۰ ساعت
.	قابلیت اطمینان در ۲۵۹۲۰ ساعت
مدت زمان عملیات و از کار افتادگی سیستم	
۱۹۸۰۲	مدت زمان عملیات (ساعت)
۱۸۲۹	کل زمان از کار افتادگی (ساعت)

## ۱۰. مأخذ

- [1] M. Modarres, M. P. Kaminskiy, V. Krivtsov, *Reliability engineering and risk analysis: a practical guide*, Second edition, CRC press, 2009.
- [2] A. El-Sayed, *Aircraft propulsion and gas turbine engines*, CRC Press, 2008.
- [3] G. C. Avontuur, K. van der Werff, An implementation of reliability analysis in the conceptual design phase of drive trains, *Reliability Engineering & System Safety*, Vol. 73, No. 2, pp. 155-165, 2001.
- [4] B. M. O. Halloran, C. Hoyle, R. B. Stone, I. Y. Tumer, The early design reliability prediction method, *Proceedings of The international mechanical engineering congress and exposition*, pp. 1765-1776, 2012.
- [5] A. N. Patowary, J. Hazarika, G. L. Srivastav, Estimation of reliability in interference models using Monte Carlo simulation, *Reliability: Theory and Applications*, Vol. 1, pp. 78-84, 2012.
- [6] A. Mettas, Reliability allocation and optimization for complex systems, *Proceedings of The Reliability and Maintainability Symposium*, pp. 216-221, 2000.
- [7] G. R. Weckman, R. L. Shell, J. H. Marvel, Modeling the reliability of repairable systems in the aviation industry, *Computers & industrial engineering*, Vol. 40, No. 1-2, pp. 51-63, 2001.
- [8] R. K. Moghadas, M. J. Fadaee, Reliability assessment of structures by Monte Carlo simulation and neural networks, *Asian Journal of Civil Engineering (Building and Housing)*, Vol. 13, No. 1, pp. 79-88, 2012.
- [9] Northrop unveils next generation Global Hawk, aerotech news and review, 2006; [https://en.wikipedia.org/wiki/Northrop\\_Grumman\\_RQ-4\\_Global\\_Hawk](https://en.wikipedia.org/wiki/Northrop_Grumman_RQ-4_Global_Hawk).
- [10] J. Mattingly, H. Von Ohain, *Elements of propulsion: gas turbines and rockets*, AIAA education series, Second edition, 2006.
- [11] A. Onvani, *Gas Turbines (Industrial-Aircraft)*, Arkan Press, Edition 2, 2010 (in Persian فارسی).
- [12] W. R. Blischke, D. N. Prabhakar Murthy, *Case Studies in Reliability and Maintenance*, Vol. 480, John Wiley & Sons, Hoboken, 2003.
- [13] D. P. Kroese, T. Taimre, Z. I. Botev, *Handbook of Monte Carlo methods*. Vol. 706, John Wiley & Sons, 2011.

- [14] M. Modarres, *Risk analysis in engineering: techniques, tools, and trends*, CRC press, 2006.
- [15] A. N. O'Connor, *Probability distributions used in reliability engineering*. RIAC, 2011.
- [16] A. C. Márquez, *The maintenance management framework: models and methods for complex systems maintenanc*, Springer, 2007.
- [17] L. Leemis, *Reliability: probabilistic models and statistical methods*, Prentice-Hall, Inc., 1995.
- [18] Y. K. Malaiya, Reliability allocation, *Encyclopedia of Statistics in Quality and Reliability*, John Wiley & Sons, 2008.
- [19] O. P. Yadav, N. Singh, P. S. Goel, Reliability demonstration test planning: A three dimensional consideration, *Reliability Engineering & System Safety*, Vol. 91, No. 8, pp. 882-893, 2006.
- [20] OREDA Participants, *Offshore reliability data handbook*, 4<sup>th</sup> ed., Norway, Trondheim, 2002.
- [21] Handbook Military. *Reliability Prediction of Electronic Equipment*, MILHDBK-217F, Department of Defense, Washington, 1991.
- [22] Center, Naval Surface Warfare. *Handbook of reliability prediction procedures for mechanical equipment*. Carderock Division, Naval Surface Warfare Center, 1998.
- [23] Handbook Military. *Reliability modeling and Prediction*, MILHDBK-756b, Department of Defense, Washington, 1981.
- [24] Maintenance Report of Civil Aviation Organization of Islamic Republic of Iran, 2013.

### پی‌نوشت

1. deterministic

2. Mantis

3. RQ-11B

4. Phantom Ray

5. Rolls-Royce

۶ نورثروپ گروم آر. کیو. ۴ گلوبال هاوک (RQ-4 global Hawk) پهپاد ساخت شرکت نورثروپ گروم است که توسط نیروی هوایی و نیروی دریایی ایالات متحده به عنوان یک هوایی شناسایی به کار می‌رود. این پهپاد به نام گلوبال هاوک نیز شناخته می‌شود. این نامگذاری از سوی گروه نگهداری این پهپاد به سبب زمان درازی که در روی زمین بابت نگهداری از آن صرف می‌شود انجام شده است. این مدل می‌تواند تا ارتفاع ۶۵ هزار پا پرواز کند و کنترل آن بر عهده چهار خدمه است [ویراستار].

7. Ivchenko

8. Monte Carlo Simulation

9. Bathtub Curve

10. Hazard function

11. aeronautical radio incorporated

12. A320

13. Fokker 100

14. mean time between failure

15. preventive maintenance

16. inactive

17. Active